

III-136 繰返し載荷時の砂の応力比・ひずみ増分比関係について

東京大學生産技術研究所

正員

龍岡文夫

"

正員

アラダーン テーラー B.S.

1. はじめに： 砂の応力比-塑性ひずみ増分比（いわゆるストレッサーイターンシーケンス関係）は、これまでRowe, 松岡, 小田, 徳江, 諸戸らによつて詳細に検討されてきた。そこで、繰返し載荷中の関係をこれまでの研究の成果を踏まえつつ次の2点を取り入れて定式化してみた。（1）載荷方向が反転した瞬間は応力比一定のままダイレイターンシーケンスが不連続的に減少する。（2）除荷時も常に塑性变形が生じ、載荷時・除荷時、繰返し回数、応力履歴等にかかわらず載荷方向と向きが同一ならば同一の関係が成り立つ、といふ。

2. 繰返し非排水せん断時の挙動： 図-1は近似的に単純せん断変形の条件（水平面上の直ひずみはゼロ）を満たしている実験の結果である。この結果から次のことが分かる。（1）詳細に図-aを見ると、 σ_a' - τ_{at} 時（1P₊, 1P₋, 2P₊, ..., 9P₊, 9P₋, 10P₊）から除荷した時、負の $d\sigma_a'$ が生じていて、その絶対値は σ_a' - τ_{at} 時の応力比($|\tau_{at}/\sigma_a'|$)が大きい程大きい。（2）除荷時の $|d\sigma_a'|$ の値は（特に8P₊以降は）生じてない $d\tau_{at}$ の大きさに比較すると非常に大きい。この時のダイレイターンシーケンスは負であり、その絶対値は載荷時との（たとえばS→1P₊での）負のダイレイターンシーケンスの絶対値よりも大きいことを示唆している。この2点はアラダーン²⁾が行った排水繰返し三軸試験の結果とも矛盾しない。以下に述べる定式化ではこの点を踏まえている。

3. 単純せん断時のストレス・ダイレイターンシーケンス関係： これまでの提案された数多くのモデルの中から最も単純な「フロックすべり理論」（たとえば徳江³⁾, 諸戸⁴⁾）を用いることにした。図-2(a)に示すような単純せん断変形を考慮する。面a-a'は平均的な粒子間摩擦面の方向をあらわす（図B）。この面a'の平均的な静摩擦角を ϕ_u であらわし、この面a'の応力傾角が ϕ_u である時粒子間にすべりが生ずるとする。すべりの量は不明なのでこのモデルからは $d\gamma$ の値は求められない。マクロ的な応力とひずみ増分の符号は次のように定義する。

• τ_{hv} , $d\gamma$ ； 反時計まわりを正(+)。

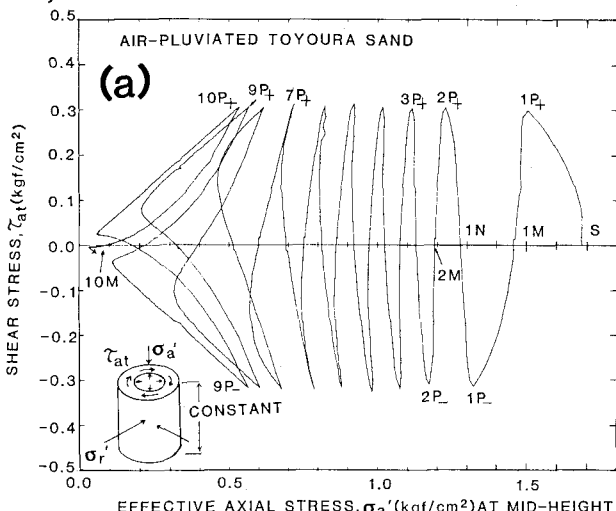
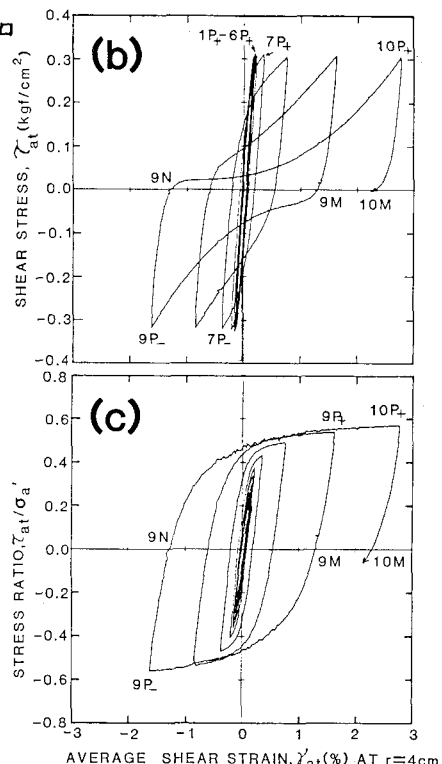


図1. $\sigma_a' = 1.689 \text{ kgf/cm}^2$, $\sigma_r' = 0.660 \text{ kgf/cm}^2$ で裏方圧密した $E = 0.734$ の高さ10cm, 外径10cm, 内径6cmの中空供試体を高さ一定で非排水繰返しじりせん断した結果（実験は原勝重氏による）。



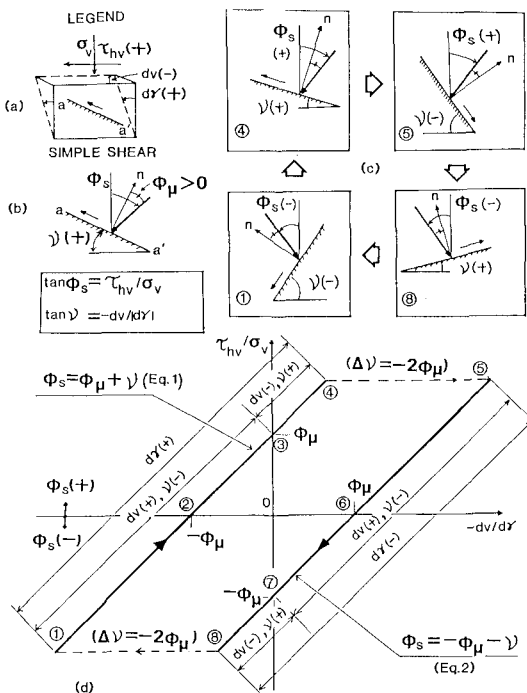


図-2 ブロックすべり理論

• σ_v, dv ; 壓縮が正(+)。

• 応力偏角 $\phi_s = \arctan(\tau_{hv}/\sigma_v)$: 時計まわり正。

なお、 ϕ_s は常に正であり、ダイレイタントシーアングルνは $d\nu$ が正の時負になるように $\tan \nu = -dv/dy$ で定義

する。 $d\nu > 0$ の時の応力・ダイレイタントシーアングル関係は図-2(d)の直線①②③④であらわされ、(Eq. 1)となる。ビトウ④から除荷すると ϕ_s は不变のままνは不連続的に減少し、⑤に移る。⑤→①→⑦→⑧で $d\nu < 0$ となり、応力・ダイレイタントシーアングル関係は(Eq. 2)となる。ビトウ⑧から除荷すると ϕ_s は不变のままνが不連続的に減少する。 $\nu = 0$, ①→②, ⑤→⑥で τ_{hv} と $d\nu$ の符号は逆であることに注意する必要がある。

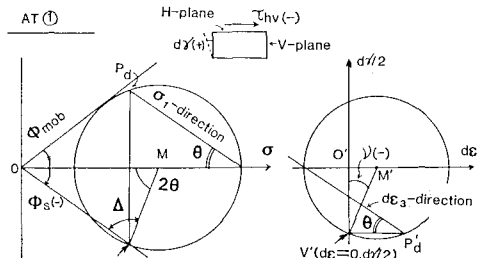
4. 三軸圧縮・伸張状態への変換: 松岡⁵⁾に従い、三軸状態では2つの2次元的すべりが生じ、個々の2次元的すべりでの主ひずみ増分を $d\varepsilon_a^p/2$, $d\varepsilon_r^p$ とする($d\varepsilon_a^p, d\varepsilon_r^p$ は実際の軸ひずみ増分, $d\varepsilon_r^p$ は側方ひずみ増分)。個々の2次元的すべりでの伸び縮みのない方向の変形を図-2(a)の変形とみなす、主応力軸と主ひずみ増分の回転性を仮定すると次式が得られる。たとえば、 $\phi_{mob} = \arcsin(\sigma_r - \sigma_3)/(\sigma_r + \sigma_3)_{mob}$ である。(Eq. 3)

(1) τ_{hv} と $d\nu$ の符号が同じ時(三軸 σ_3 は σ_r と $d\varepsilon_r^p$ の方向が同じ時)
 $\tan(\phi_s + \nu) = \sin \phi_{mob} \cos \nu / (1 - \sin \phi_{mob} \sin \nu)$
(2) τ_{hv} と $d\nu$ の符号が逆の時(三軸 σ_3 は σ_r と $d\varepsilon_r^p$ の方向が同じ時、たとえば図-2(c)の⑦の時。) 図-3を参照して
 $-\tan(\phi_s + \nu) = \sin \phi_{mob} \cos \nu / (1 + \sin \phi_{mob} \sin \nu) \dots (Eq. 4)$ 。(Eq. 3, 4)は $\tau_{hv}, d\nu$ の符号によらない。

ここで、νは次のようになる $d\varepsilon_a^p$ と $d\varepsilon_r^p$ と関係づけられ $\nu = \pi/2 - \theta$ (θ は塑性ひずみ)。
(1) $d\varepsilon_a^p > 0$ の時, $\sin \nu = -\frac{d\varepsilon_a^p/2 + d\varepsilon_r^p}{d\varepsilon_a^p/2 - d\varepsilon_r^p}$ (Eq. 5), (2) $d\varepsilon_a^p < 0$ の時, $\sin \nu = -\frac{d\varepsilon_a^p/2 + d\varepsilon_r^p}{d\varepsilon_r^p - d\varepsilon_a^p/2}$ (Eq. 6)

(Eq. 3)～(Eq. 6)を用いて、三軸状態での $\beta/p' = (\sigma_a' - \sigma_r')/\frac{1}{2}(\sigma_a' + 2\sigma_r')$ と $-d\nu/d\sigma^p = -(d\varepsilon_a^p + 2d\varepsilon_r^p)/(d\varepsilon_a^p - d\varepsilon_r^p)$ の関係を $\phi_s = 27.1^\circ$ として求めたのが図-4(c)の実験である。 $\tau - \nu$ との対応は悪くなり。

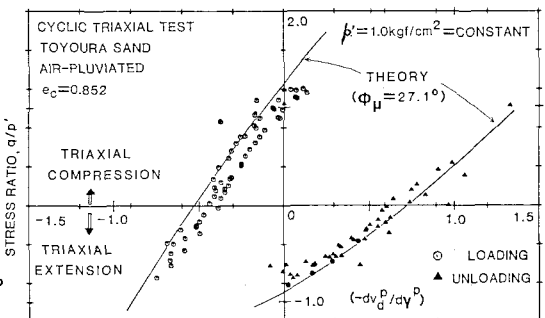
参考文献 (1) 原勝重・龍岡文夫・アラン・テージ B.S. (1985), 第20回国土工学会, H-369~372. (2) アラン・テージ B.S. 龍岡文夫・毛利栄一(1986), 第21回国土工学会, 講演論文号207. (3) Tokue, T., (1978), Soils and Foundations, Vol. 18, No. 1, pp. 1-10. (4) 諸戸靖史(1986), 第21回国土工学会, 講演論文号124. (5) Matsuoka, H. (1974), Sand F., Vol. 14, No. 3. (6) Tatsuoka, F. (1985), Sand F., Vol. 25, No. 4.



$$\nu' \Rightarrow P'_d \Rightarrow (\text{direction of } \tau_{hv}) = (\sigma_1 \text{-direction}) \Rightarrow P_d \Rightarrow H$$

$$\begin{aligned} \theta &= \pi/4 + \nu/2 \\ \Delta &= \pi - 2\theta + \Phi_s \\ \sin \Delta &= \frac{\sin \phi_{mob} \cdot \cos \nu}{1 + \sin \phi_{mob} \cdot \sin \nu} \end{aligned} \quad (\text{Eq. 4})$$

図-3, 図-2(c)の①の状態の時の2次元すべり変形における応力とひずみ増分の状態。

図-4, $\tau - \nu$ との比較